

·研究简报·

# 含三嗪或查尔酮结构聚对亚苯基亚乙炔基的合成及其荧光特性\*

罗春华 赵凌 王跃川 程格\*\*

(四川大学高分子科学与工程学院 高分子材料工程国家重点实验室 成都 610065)

关键词 三嗪, 查尔酮, 聚对亚苯基乙炔, Sonogashira 偶联反应, 光致发光

聚对亚苯基亚乙炔基 (polyphenylene ethynylene, PPE) 是主链由苯环与乙炔基交替相联的线型聚合物, 其共轭主链的电子流动性好, 在溶液中有较高的荧光量子效率, 具有独特的光电性能, 已在分子导线、分子传感器、液晶显示、发光二极管和能量传输材料等领域得到应用<sup>[1~4]</sup>。在聚对亚苯基亚乙炔基的主链中引入芳杂环(如吡啶、吡咯、噻吩等), 可以改变这类  $\pi$ -共轭聚合物的有效共轭长度, 如主链中引入噻吩基后, 有效共轭长度增长, 聚合物的最大发光波长红移; 当主链中引入吡啶基团后,  $\pi-\pi^*$  跃迁势垒增大, 最大发光波长蓝移<sup>[5]</sup>。1,3,5-三嗪环是一类典型的电子受体<sup>[6]</sup>, 同时具有较高的热稳定性; 查尔酮作为光敏化合物, 其丙烯酮结构单元的吸收波长在 300~350 nm 范围,  $\pi-\pi$  共轭体系的电子流动性较好, 又因其结构的不对称性而具有非线性光学(NLO)特性<sup>[7,8]</sup>。本工作分别将 1,3,5-三嗪环和查尔酮两类结构单元通过 Sonogashira 偶联反应引入聚对亚苯基乙炔的主链中, 合成两类新型共轭聚合物, 并对它们的荧光特性进行了比较。

## 1 试剂及仪器

三聚氯氰(工业品, 河北诚信有限责任公司); 对溴苯乙酮(江苏金坛市金枪节能助剂厂); 对溴苯甲醛(江苏金坛市染料化工二厂); 对苯二酚(化学纯, 天津化学生试剂一厂); 溴素(成都科龙化工试剂厂); 溴代壬烷(化学纯, 上海化学试剂一厂); 氯化钯(化学纯, 上海试剂一厂); 甲基丁炔醇(四川天一科技股份有限公司); 碘化亚铜(化学纯, 北京化工厂); 三苯基膦(化学纯, 上海试剂一厂); 双三苯基膦二氯化钯( $Pd(Ph_3P)_2Cl_2$ )按文献[9]制备; 三乙胺, 四氢呋喃, 二氯甲烷, 石油醚, 无

水乙醇, 甲醇, 甲苯, 氢氧化钠, 无水硫酸钠均为分析纯。

X24 显微熔点仪(北京光电设备厂, 温度计未经校正); Nicolet 560 型傅立叶红外光谱仪(美国), KBr 压片; Shimadzu UV-2501PC 紫外分光光度仪(日本); Hitachi 850 型荧光仪(日本); Varian UNITY INOVA-400 核磁共振仪( $CDCl_3$  作溶剂, TMS 为内标); 凝胶渗透色谱(GPC)在 Agilent1100 系列高效液相色谱仪(plgel 凝胶柱, THF 为洗淋剂, 流速 1 mL/min, 温度 35°C, 采用示差折光指数检测器)上测定。

## 2 单体及聚合物的合成

化合物 1、4 和 6 分别按文献[4,10]和[11]制备。

### 2.1 2,5-二壬氧基-1,4-二乙炔苯 3 的合成

将化合物 1(20 mmol)、 $Pd(Ph_3P)_2Cl_2$ (0.1 mmol)、CuI(0.2 mmol) 和  $PPh_3$ (0.2 mmol) 加入 100 mL 三颈瓶中, 抽真空、通氮气。用注射器加入脱氧三乙胺(20 mL)和 THF(20 mL), 搅拌、氮气鼓泡 20 min, 用注射器加入的甲基丁炔醇(80 mmol)。升温至 90°C 反应 24 h, 停止反应后冷至室温, 过滤、减压蒸除溶剂, 柱层析(二氯甲烷为淋洗剂), 在乙醇/水(9:1)的混合溶剂重结晶、干燥, 得淡黄色固体 2(熔点 79~81°C, 产率 82%)。取化合物 2(17.4 mmol)溶于甲苯(40 mL), 在 120°C 回流条件下加入氢氧化钾粉末(35 mmol), 反应 16 h, 冷却, 加入 NaCl 饱和溶液(40 mL), 分出有机层, 水洗, 无水硫酸钠干燥, 过滤, 减压蒸除溶剂, 在石油醚中重结晶得黄色针状晶体 3, 熔点 68~69°C, 产率 83%;  $^1H-NMR$  (400 MHz,  $CDCl_3$ , δ): 6.96(s, 2H, Ar—H), 3.98(t, 4H, —OCH<sub>2</sub>—), 3.34(s, 2H, =CH), 1.84~

\* 2005-12-15 收稿, 2006-04-13 修稿; 国家自然科学基金(基金号 50273021)资助项目; \*\* 通讯联系人, E-mail: Cheng\_ge1966@hotmail.com

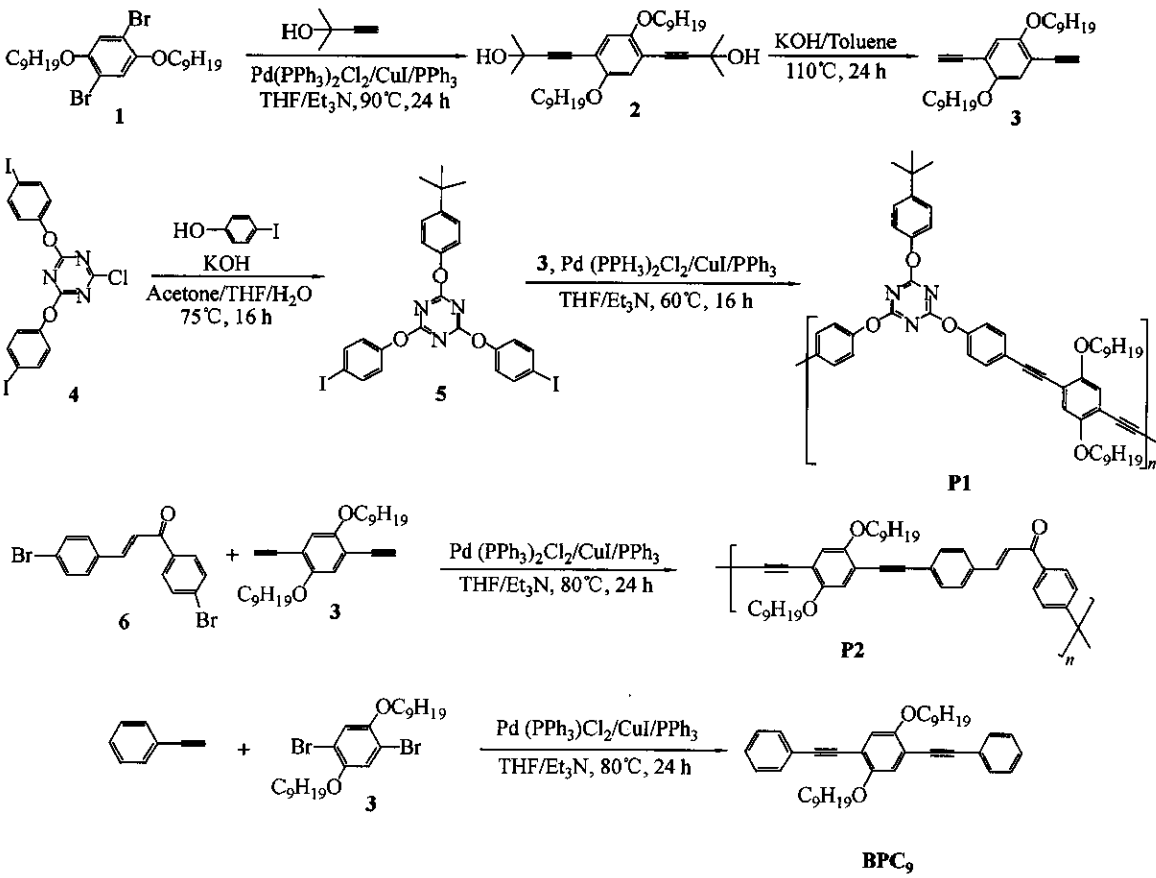
1.77(m, 4H), 1.51~1.43(m, 4H), 1.40~1.28(m, 20H), 0.89(t, 6H, CH<sub>3</sub>).

**2.2 2-对叔丁基苯氧基-4,6-二对碘苯氧基-1,3,5-三嗪 5 的制备** 将化合物 4(5 mmol)溶解于(40 mL)四氢呋喃和丙酮的混合溶液(1:1), 在70℃回流条件下滴加对叔丁基苯酚(5.25 mmol)和氢氧化钾(5.25 mmol)的(20 mL)丙酮水溶液(1:1), 滴毕, 回流16 h, 蒸出部分溶剂, 在100 mL水中沉淀, 过滤、水洗至中性、干燥、在二氯甲烷和乙醇的混合溶剂中结晶得白色针状晶体, 熔点229~231℃, 产率68%; <sup>1</sup>H-NMR(400 MHz, CDCl<sub>3</sub>, δ): 7.69(d, J = 8.8 Hz, 4H), 7.36(d, J = 8.4 Hz, 2H), 7.02(d, J = 8.4 Hz, 2H), 6.89(d, J = 8.8 Hz, 4H), 1.32(s, 9H); MS: m/z 517 (M<sup>+</sup>—OC<sub>6</sub>H<sub>4</sub>C(CH<sub>3</sub>)<sub>3</sub>); C<sub>25</sub>H<sub>21</sub>I<sub>2</sub>N<sub>3</sub>O<sub>3</sub> 元素分析实测值(理论值)(%): C 45.87(45.14), H 2.84(3.18), N 5.96(6.32).

**2.3 模型化合物 BPC<sub>9</sub> 的合成** 将对二溴苯衍生物 1(2 mmol)、Pd(PPh<sub>3</sub>)<sub>2</sub>Cl<sub>2</sub>(14 mg, 0.02 mmol)、CuI(7.6 mg, 0.04 mmol)和PPh<sub>3</sub>(10.5 mg,

0.04 mmol)加入100 mL三颈瓶中, 抽真空、通氮气, 用注射器加入脱氧三乙胺(5 mL)和THF(15 mL), 搅拌, 氮气鼓泡30 min, 加入苯乙炔(816 mg, 8 mmol), 升温至85℃反应24 h, 停止反应后冷至室温, 过滤, 减压蒸除溶剂, 升温至85℃回流反应24 h后停止, 反应物过滤除去生成的盐, 滤液减压蒸除溶剂, 粗产物用二氯甲烷和乙醇的混合溶剂结晶得480 mg白色晶体, 产率86%, 熔点63~64℃. FT-IR(KBr, cm<sup>-1</sup>): 3080w, 3057w, 2953s, 2922vs, 2852s, 2202w, 1598m, 1506s, 1485s, 1465s, 1414s, 1389s, 1286m, 1217vs, 1076m, 1016m, 979w, 856m, 752s, 688s, 630w; GPC: M<sub>n</sub> = 714, M<sub>w</sub> = 722, PDI = 1.01.

**2.4 聚合物 P1 的合成** 将单体 5(0.5 mmol)、Pd(PPh<sub>3</sub>)<sub>2</sub>Cl<sub>2</sub>(0.05 mmol)、CuI(0.1 mmol)和PPh<sub>3</sub>(0.1 mmol)加入100 mL三颈瓶中, 抽真空、通氮气, 用注射器加入脱氧三乙胺(5 mL)和THF(15 mL), 搅拌, 氮气鼓泡30 min, 加入单体 3(0.5 mmol), 升温至60℃反应16 h, 停止反应后冷至室温, 过滤, 减压蒸除溶剂, 将产物溶于少量THF, 在



Scheme 1 Synthesis of P1, P2 and BPC<sub>9</sub>

甲醇中沉淀, 反复沉淀3次, 真空干燥, 得410 mg亮黄色固体。FT-IR (KBr,  $\text{cm}^{-1}$ ): 3053w, 2924s, 2853m, 2208w, 1565s, 1509s, 1480m, 1412w, 1366vs, 1257w, 1210vs, 1169m, 1079w, 1051w, 1012 w, 840m, 812m, 743w, 694w;  $^1\text{H-NMR}$  (400 MHz,  $\text{CDCl}_3$ ,  $\delta$ ): (7.74 ~ 7.62 (m, 2H), 7.59 ~ 7.43 (m, 4H), 7.42 ~ 7.28 (m, 2H), 7.20 ~ 7.09 (m, 2H), 7.09 ~ 6.86 (m, 4H), 4.10 ~ 3.85 (m, 4H), 1.90 ~ 1.73 (m, 4H), 1.60 ~ 1.45 (m, 4H), 1.43 ~ 1.16 (m, 29H), 0.94 ~ 0.78 (m, 6H); GPC:  $M_n = 6390$ ,  $M_w = 14903$ , PDI = 2.33.

**2.5 聚合物P2的合成** 采用单体6按以上合成方法得300 mg棕黄色固体。FT-IR (KBr,  $\text{cm}^{-1}$ ): 3058w, 2922vs, 2851s, 2203w, 1661m, 1599vs, 1554w, 1492m, 1465m, 1410m, 1325m, 1276m, 1213vs, 1175m, 1068w, 1009s, 980m,

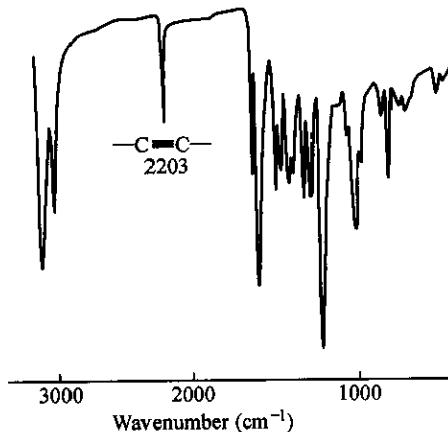


Fig. 1 FT-IR spectrum of P2

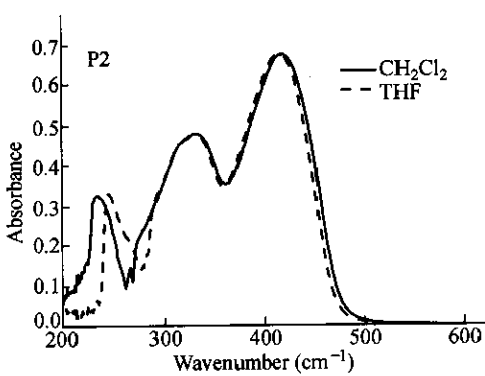


Fig. 3 UV-Vis absorption spectra of P2

在聚合物P1和P2的红外光谱中, 可以看到 $2210\text{ cm}^{-1}$ 碳-碳三键( $-\text{C}\equiv\text{C}-$ )的特征吸收峰; 聚合物P2的羰基伸缩振动峰在 $1661\text{ cm}^{-1}$ 处,

$859\text{w}$ ,  $814\text{m}$ ,  $748\text{w}$ ,  $722\text{w}$ ,  $694\text{w}$ ;  $^1\text{H-NMR}$  (400 MHz,  $\text{CDCl}_3$ ,  $\delta$ ): 8.10 ~ 6.95 (m, 12H, Ar—H,), 4.10 ~ 3.90 (m, 4H, —OCH<sub>2</sub>—), 1.92 ~ 1.80 (m, 4H, CH<sub>2</sub>), 1.60 ~ 1.45 (m, 4H, CH<sub>2</sub>), 1.45 ~ 1.17 (m, 20H, CH<sub>2</sub>), 0.93 ~ 0.80 (m, 6H, CH<sub>3</sub>) GPC:  $M_n = 6870$ ,  $M_w = 12706$ , PDI = 1.85.

### 3 讨论

溴代芳烃1与甲基丁炔醇的Sonogashira偶联产物脱丙酮后得二元端炔单体3; 在丙酮/四氢呋喃/水混合溶液中, 由对叔丁基苯酚与氢氧化钾制得的钾盐与中间体4缩合得到单体5; 溴代苯乙酮与溴代苯乙醛在氢氧化钠催化下缩合制得单体6。单体5和6分别与单体3在经典的Sonogashira偶联反应条件下缩聚得聚合物P1和P2, 合成路线如示意图1所示。

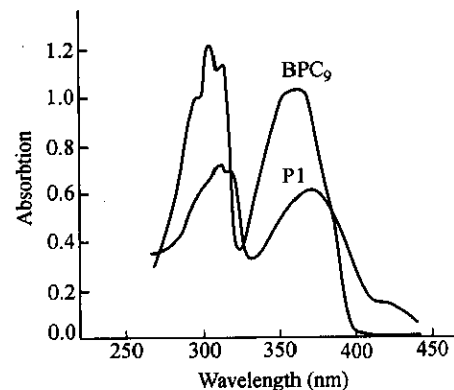


Fig. 2 UV-Vis absorption spectra of BPC<sub>9</sub> and P1 (in  $\text{CH}_2\text{Cl}_2$ )

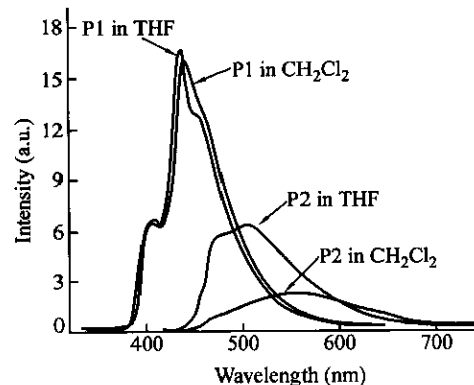


Fig. 4 Photoluminescence spectra of P1 and P2

$\alpha, \beta$ -不饱和酮双键的伸缩振动峰在 $1598\text{ cm}^{-1}$ 处(图1)。以PS为标样, 采用凝胶渗透色谱(GPC)测得P1的数均分子量 $M_n$ 为6390, 多分散度D为

2.33; P2 的数均分子量  $M_n$  为 6870, 多分散度  $D$  为 1.85; 聚合物可溶于四氢呋喃、二氯甲烷和三氯甲烷等有机溶剂中, 易成膜.

与模型分子 2,5-壬氧基-1,4-二苯乙炔基苯

BPC9(按文献[12]合成) 比较, P1 紫外吸收红移 5 nm(图 2); 由于丙烯酮结构与二乙炔基苯共轭, P2 紫外吸收红移 52 nm; 溶剂极性对 P1 和 P2 的 UV-Vis 吸收光谱影响不大(图 3).

Table 1 The optical properties of BPC9, P1 and P2

Polymer	$M_w$	$M_w/M_n$	<sup>a</sup> $\lambda_{\text{max}}^{\text{abs}}$ (nm) ( $\epsilon_{\text{max}}$ ) <sup>b</sup>		<sup>a</sup> $\lambda_{\text{max}}^{\text{em}}/\lambda^{\text{ex}}$ (nm)		<sup>c</sup> $\lambda_{\text{max}}^{\text{em}}(\text{nm})/\lambda^{\text{ex}}(\text{nm})$
			In $\text{CH}_2\text{Cl}_2$	In THF	In $\text{CH}_2\text{Cl}_2$	In THF	
BPC9		3.33	367(33800)	367(33400)	415/319		467/300
			315(37600)	314(37600)			
P1	14903	2.33	373(28800)	372(29600)	441/320	438/320	530/295
			318(32300)	317(31300)			
P2	12706	1.85	419(42300)	414(42300)	550/300	500/300	605/245
			332(29750)	333(29600)			

<sup>a</sup> In solution ( $1.6 \times 10^{-5}$  mol/L); <sup>b</sup>  $\epsilon_{\text{max}}$ : L·mol<sup>-1</sup>·cm<sup>-1</sup>; <sup>c</sup> Powder

溶液荧光光谱表明 P1 发蓝绿色光, 最大发光波长为 441 nm, 与模型分子 BPC<sub>9</sub> 比较红移 26 nm, 溶剂的极性对其光谱行为影响不大(图 4); P2 发绿色光, 最大发光波长为 550 nm, 溶剂的极性对 P2 的光谱行为影响很大, 随着溶剂极性增大, 最大发射波长蓝移, 且强度降低, 这可能是由于聚

合物中丙烯酮结构的互变异构所致, 溶剂极性增大烯醇式含量增加, 共轭长度变短; 另一方面, 在相对弱极性溶剂(二氯甲烷)中, P2 的聚合物链段易于聚集, 存在浓度猝灭效应. 在固态荧光光谱中 P1 的最大发光波长在 530 nm, 与模型分子 BPC<sub>9</sub> 相比红移 63 nm; P2 最大发光波长在 605 nm(表 1).

## REFERENCES

- 1 Swager T M, Gil C J, Wrighton M S. J Phys Chem, 1995, 14: 4886 ~ 4893
- 2 Bunz U H F. Chem Rev, 2000, 100: 1605 ~ 1644
- 3 Egbe D A M, Carboneir B, Ding L M, Mühlbacher D, Birckner E, Pakula T, Karasz F E, Grummt U W. Macromolecules, 2004, 37: 7451 ~ 7463
- 4 Khatyr A, Ziessel R. J Org Chem, 2000, 65: 3126 ~ 3134
- 5 Woo H S, Graham S C, Halliday D A, Bradley D D C, Friendet R H. Phys Rev, 1992, B46: 7379 ~ 7389
- 6 Fang Q, Yamamoto T. Macromol Chem Phys, 2004, 205: 795 ~ 800
- 7 Uchida T, Kozawa K, Kumura Y, Goto Y. Synth Met, 1995, 71: 1705 ~ 1706
- 8 Rehab A. Eur Polym J, 1998, 34(12): 1845 ~ 1855
- 9 Yu Jianxin(余建鑫), Zhang Wannian(张万年), Zhang Lei(张雷), Lu Jiaguo(吕加国), Zhu Ju(朱菊). Chin J Med Chem(中国药物化学杂志), 2001, 11(6): 349 ~ 352
- 10 Kim C, Chang Y, Kim J S. Macromolecules, 1996, 29: 6353 ~ 6355
- 11 Peng Q, Lu Z Y, Huang Y, Xie M G, Xiao D, Han S H, Peng J B, Cao Y. J Mater Chem, 2004, 14: 396 ~ 401
- 12 Balooch M, Wang W E, LeMay J D. J Nucl Mater, 1999, 270: 248 ~ 252

## SYNTHESIS AND PHOTOPHYSICAL PROPERTIES OF POLY(ARYLENE ETHYNYLENE)S CONTAINING 1,3,5-TRIAZINE OR CHALCONE UNITES

LUO Chunhua, ZHAO Ling, WANG Yuechuan, CHENG Ge

(School of Polymer Science and Engineering, State Key Laboratory of Polymer Materials Engineering, Sichuan University, Chengdu 610065)

**Abstract** Poly(arylene ethynylene)s, P1 and P2 containing 1,3,5-triazine and chalcone unites respectively, were synthesized by Sonogashira coupling reaction. These polymers exhibited good solubility in common organic solvents, such as dichloromethane, chloroform, and tetrahydrofuran. The molecular weight  $M_w$  of P1 was 6390 with polydispersity (*PDI*) being 2.33 and that of P2 was 6870 with polydispersity (*PDI*) being 1.85 characterized by GPC. The photophysical properties were analyzed by solution and solid state photoluminescence spectroscopy. P1 emitted blue fluorescence at around 441 nm in  $\text{CH}_2\text{Cl}_2$  or THF solutions under UV excitation. The photoluminescence behavior of P2 was dependent on the solvent, with green emitting light at around 550 in  $\text{CH}_2\text{Cl}_2$  solution and 500 nm in THF solution. Powder photoluminescence spectra of P1 and P2 showed that the peak wavelengths respectively shifted to 530 and 605 nm.

**Key words** 1,3,5-Triazine, Chalcone, Poly(arylene ethynylene), Sonogashira coupling, Photoluminescence